

外  
科

# 纵向弯曲与扭转

[苏联] A.H. 金尼克著 謢貽权譯

上海科学技术出版社

# 纵向弯曲与扭轉

〔苏联〕 A. H. 金尼克 著

謝 賴 权 譯

上海科学技术出版社

## 内 容 提 要

本书是苏联科学院院士 A. H. 金尼克在“纵向弯曲与扭轉”这一問題的理論和应用方面积累了多年的丰富經驗之后才写成的。全书共分三篇。在第一篇中,論述了“纵向弯曲”的理論和应用,主要研究等截面和变截面杆件以及曲杆和杆系的纵向弯曲問題,它是本书的主要部分。在第二篇中,刊載着有关稳定性問題的补充論文,在这些論文中,作者对“纵向弯曲”这一专题进行了更詳細的研究,其中有关“极坦拱”的問題在船舶制造方面特別重要。在第三篇中,論述了“扭轉”的理論和应用,着重討論各种不同的解答和方法,对机器制造來說,这是非常重要的問題。

此外,在上述許多問題的探討中,大都举有实例并加以詳細說明。

本书可供从事结构工程、机械工程和船舶制造等工程技术人员以及大专学校师生参考和研究之用。

## 纵 向 弯 曲 与 扭 转

ПРОДОЛЬНЫЙ ИЗГИБ • КРУЧЕНИЕ

原著者 [苏联] A. H. 金尼克

原出版者 АН СССР • 1955 年版

譯 者 謝 賦 权

\*

上海科学技术出版社出版

(上海瑞金二路 450 号)

上海市书刊出版业营业許可证出 099 号

新华书店上海发行所发行 各地新华书店經售

大东集成联合印刷厂印刷

\*

开本 787×1092 1/18 印张 18 8/18 字数 412,000

1962年8月第1版 1962年8月第1次印刷

印数 1—2,000

统一书号: 15119·1676

定 价: (十四) 2.55 元

# 目 录

## 第一篇 纵向弯曲(理論和应用)

序言.....	1	§ 30. $m=2$ 的情形 .....	78
第一章 临界力.....	3	§ 31. 实际应用.....	81
§ 1. 平衡的三种形式.....	3	§ 32. $m=3$ 的情形 .....	82
§ 2. 稳定的分析准则.....	3	§ 33. $m=4$ 的情形 .....	84
§ 3. 临界力.....	4	§ 34. 一般情况.....	85
§ 4. 弹性系统的临界力.....	6	§ 35. 双曲线规律.....	86
§ 5. 临界力存在的准则.....	7	§ 36. 惯矩按指数规律变化.....	86
§ 6. 临界力的求法.....	8	§ 37. 梯级杆件.....	88
§ 7. 各种方法的比较.....	23	§ 38. 正弦和余弦支柱.....	90
参考文献.....	24	§ 39. 二项式关系的情形.....	92
第二章 等截面直杆的纵向弯曲.....	25	§ 40. 椭圆体柱.....	94
§ 8. 欧拉问题.....	25	§ 41. 曲线或多边形外形的组合柱.....	95
§ 9. 弹性支座的情形.....	27	§ 42. 不对称柱.....	97
§ 10. 空间弯曲线.....	29	§ 43. $I_c$ 的影响 .....	98
§ 11. 温度应力所引起的纵向弯曲.....	35	§ 44. 上述理论是否得到实验证明？ .....	98
§ 12. 稳定和不稳定的平衡状态.....	36	§ 45. 确定变截面杆件临界力所用的近似公式.....	99
§ 13. 切力的影响.....	37	§ 46. 局部削弱的影响(槽口、销钉孔等) .....	101
§ 14. 偏心距、初始弯曲和杆件纵向缩短的影响.....	38	§ 47. 形状最有利的柱子 .....	103
§ 15. 扭矩和杆件绕其轴线转动的影响.....	40	参考文献 .....	104
§ 16. 外力超过临界值.....	43	第四章 分布载荷下的纵向弯曲 .....	105
§ 17. 纵向弯曲的精确理论.....	46	§ 48. 分布载荷 .....	105
§ 18. 超过比例极限后的纵向弯曲.....	49	§ 49. 均布载荷 .....	105
§ 19. 实验.....	52	§ 50. 杆件的载荷和刚度按幂次规律变化 .....	107
§ 20. 经验公式.....	53	§ 51. 均布载荷和集中载荷同时作用 .....	110
§ 21. 弹性介质中的纵向弯曲.....	56	§ 52. 多跨度杆件 .....	112
§ 22. 弹性支座上的杆件.....	60	§ 53. 雅辛斯基的问题 .....	113
§ 23. 多跨度杆件.....	64	§ 54. 两个分布载荷的同时作用 .....	116
§ 24. 组合杆件.....	65	参考文献 .....	118
§ 25. 具有横向柔性的组合杆件.....	68	第五章 曲杆的纵向弯曲	
§ 26. 外力作用在杆件轴线的不同点上.....	69	圆拱和圆环 .....	119
参考文献.....	73	§ 55. 概述 .....	119
第三章 变截面杆件.....	75	§ 56. 基尔赫高弗方程 .....	120
§ 27. 概述.....	75	§ 57. 曲线杆件的微小变形 .....	122
§ 28. 问题的提法.....	76	§ 58. 力因素与变位的关系 .....	123
§ 29. $m=1$ 的情形 .....	77		

§ 59. 杆件的軸線在未变形状态中为圓弧 .....	123	§ 72. 三鉸拱 .....	146
§ 60. 圓拱的纵向弯曲 .....	124	§ 73. 单鉸拱 .....	148
§ 61. 圓环的稳定性 .....	125	§ 74. 結果 .....	149
§ 62. 受均布流体靜压力 $p$ 壓縮的圓拱 .....	126	§ 75. 載荷状态的影响 .....	149
§ 63. 方向保持指向中心的外力 .....	132	§ 76. 与其他作者的公式以及实验的比較 .....	151
§ 64. 大小和方向都保持不变的外力 .....	134	§ 77. 等强度的抛物綫拱 .....	153
§ 65. 切力的影响 .....	135	§ 78. 頂点向上的悬鏈綫拱 .....	155
§ 66. 变截面圓拱 .....	136	等截面 .....	155
参考文献 .....	138	§ 79. 悬鏈綫拱 变截面 .....	157
<b>第六章 曲杆的纵向弯曲(續篇)</b>		§ 80. 螺旋彈簧的纵向弯曲 .....	158
<b>抛物綫拱、悬鏈綫拱和螺旋彈簧</b> .....	139	参考文献 .....	159
§ 67. 概述 .....	139	<b>第七章 杆系的纵向弯曲</b> .....	161
§ 68. 平衡方程 .....	139	§ 81. 最简单的剛架 .....	161
§ 69. 拱的撓曲軸綫的微分方程及其积分 .....	140	§ 82. 正多邊形剛架 .....	164
§ 70. 等截面抛物綫双鉸拱 轉動外力的情形 .....	142	§ 83. 在非对称載荷下的剛架 .....	166
§ 71. 无鉸抛物綫拱 .....	146	§ 84. 多层剛架(图 89) .....	168

## 第二篇 纵向弯曲的补充論文

<b>第一章 极坦拱的稳定性</b> .....	173	<b>第二章 端部的彈性固定</b>	
§ 1. 概述 .....	173	对于压杆稳定性的影响 .....	191
§ 2. 正弦曲綫拱 .....	174	<b>第三章 应力大于比例极限时</b>	
§ 3. 拱的推力的确定 .....	175	变截面杆件的稳定性 .....	195
§ 4. 补充說明 .....	177	§ 1. 等截面杆件 .....	195
§ 5. 一般情况 .....	183	§ 2. 变截面杆件 .....	197
§ 6. 拱在丧失稳定性时的两种弯曲形式 .....	185	§ 3. 結果 .....	199
§ 7. 中点有集中載荷 $P$ 的拱 .....	186	§ 4. 对中央截面对称的支柱 .....	201
§ 8. 支座的彈性影响 .....	189	§ 5. 角錐形支柱 .....	202
§ 9. 探討 .....	190	§ 6. 阶梯形支柱 .....	206
§ 10. 結語 .....	190	§ 7. 5号鋼及硅鋼 .....	208

## 第三篇 扭轉(理論和应用)

<b>序言</b> .....	211	§ 5. 应力与形变之间的关系 .....	217
<b>第一章 緒論</b> .....	212	§ 6. 用位移表示的彈性理論方程 .....	218
§ 1. 問題的提法 .....	212	§ 7. 协調方程 .....	219
§ 2. 問題的經過 .....	213	§ 8. 形变位能 .....	220
§ 3. 彈性理論的基本方程 .....	215	§ 9. 圓柱坐标中的彈性理論方程 彈性振动方程 .....	220
§ 4. 伸长和剪切 .....	216	参考文献 .....	222

<b>第二章 方法</b>	223	<b>参考文献</b>	275
§ 10. 扭轉概念的確定	223	§ 44. 变截面的圓軸	277
§ 11. 圓截面杆件	223	§ 45. 圓錐形軸	279
§ 12. 聖梵南的解答	226	§ 46. 軸的直徑突變時的應力集中	280
§ 13. 聖梵南的半反逆法	228	§ 47. 聖梵南原理	284
§ 14. 橢圓截面的杆件	229	§ 48. 一個截面保持為平面的棱柱形杆 件的扭轉 橢圓截面的情況	285
§ 15. 扭轉勢	231	§ 49. 矩形截面的情況	288
§ 16. 應力函數	233	§ 50. 工字梁	290
§ 17. 上述方法的比較 整多項式形式 的解答	234	§ 51. 工字梁的扭轉試驗	292
§ 18. 級數形式的解答	235	§ 52. 圓環段的扭轉	293
§ 19. 利用格林函數的解答	236	§ 53. 螺狀彈簧	294
§ 20. 保角映射	237	§ 54. 環的扭轉	295
§ 21. 扭轉問題解答的計算法	241	§ 55. 結語	297
§ 22. 李勃曼法	244	<b>參考文献</b>	297
§ 23. 位能法	246	<b>第五章 振動</b>	299
§ 24. 里茲法	247	§ 56. 一端有圓盤的杆件的扭轉振動	299
§ 25. 伽儂金法	249	§ 57. 瑞雷的修正	300
§ 26. 流體動力比拟法	249	§ 58. 具有兩個圓盤的杆件	301
§ 27. 普朗特爾比拟法	251	§ 59. 具有几个圓盤的杆件的振動	302
§ 28. 普朗特爾比拟法的進一步發展	252	§ 60. 曲軸的振動	303
§ 29. 极坐标中的扭轉問題	253	§ 61. 圓截面杆件的振動	304
§ 30. 各種方法比較的評價	254	§ 62. 一端有圓盤的杆件的振動（精確 理論）	306
<b>參考文献</b>	254	§ 63. 端部有兩個圓盤的軸	308
<b>第三章 最主要的結果</b>	256	§ 64. 粗軸的振動	310
§ 31. 聖梵南的初等解答	256	§ 65. 簡單的特殊情況	310
§ 32. 极長的板條	257	§ 66. 具有自由端和固定端的圓柱體	311
§ 33. 三角形	258	§ 67. 空心軸	312
§ 34. 矩形	259	§ 68. 圓盤的扭轉振動	313
§ 35. 薄壁和輻輳斷面	261	§ 69. 曲線杆件的振動 螺狀彈簧	315
§ 36. 正多邊形	263	§ 70. 圓環的扭轉振動	316
§ 37. 扇形	264	§ 71. 結語	317
§ 38. 具有縱向切口的圓軸	265	<b>參考文献</b>	318
§ 39. 空心杆件	268		
§ 40. 用于空心杆件的普朗特爾比拟法	269		
§ 41. 薄壁管	271		
§ 42. 用不同材料組成的杆件的扭轉	273		
§ 43. 結語	275		

## 序　　言<sup>①</sup>

在工程建筑物和机器中常常可以看到长的压杆，例如桥梁桁架的受压构件、各种支柱（电视塔桅杆）<sup>②</sup>和柱子、起重机的臂柱、蒸汽机的活塞杆和连杆、水泵的活塞杆等等。对于这些杆件都必须考虑到纵向弯曲问题。作为建筑物或机器组成部分的个别零件的错误计算必然会导致损坏、事故和灾祸的发生。

由于纵向弯曲，尤其是由于纵向弯曲的错误计算而引起的事故特别多。例如，从1881年到1897年这段时期内的二十四起桥梁灾祸中，就有十六起是由于压杆的纵向弯曲造成的。

1875年，原莫尔山斯克·塞兹兰铁路跨越克夫达河的桥梁发生了倒塌。桥梁系上承式的，跨度约有34米。架设工作结束后不久，当石碴列车通过时，桥梁的两个桁架都弯曲了，桥梁随即坠落到尚未拆除的建筑鹰架上<sup>③</sup>。很久以后才由Ф. С. 雅辛斯基查明了倒塌的原因，原来是上弦压杆在垂直桁架平面的方向缺乏稳定性。详细情况可参阅§ 53。

1907年在奎贝克横跨圣劳伦斯河的伸臂式大桥在修建时就倒塌了。原因也是受压杆件稳定性的不足，对这些杆件的计算作得不正确。计算组合压杆时是按照欧拉的实体杆件公式作出的。根据那个欧拉公式得出的临界力等于88000吨，正确的计算则应考虑到杆件并非实体的而是组合的，发现临界力总共只等于31000吨。这些数值还须减少，因为应力已超过了弹性极限。

组合斜压杆刚度不够是莫兹尔附近普里皮亚特河上的桥梁毁坏的原因。桥梁架设工作结束后，当试验列车第一次行驶时，两根最大的斜压杆（离支座的第二根）就凹向桁架的内侧：一根内凹90厘米，另一根140厘米。桥梁就坠落到建筑鹰架上<sup>④</sup>。

1909年，汉堡煤气贮存器的严重事故也是由于一根压杆的纵向弯曲造成的。

我们列举了这几个例子是为了说明纵向弯曲计算的重要性以及工程师掌握这种计算的必要性。例如，1875年横跨克夫达河的桥梁毁坏之后，如果说上弦压杆计算错误，是由于在当时还没有进行这种计算的公式，并且关于外力沿杆长按已知规律分布下的压杆稳定问题也还没有在理论上予以解决，而不可归咎于它的建造者；那末现在这种桥梁的建造者就应该知道如何进行这种计算了。

本书主要是供从事纵向弯曲计算的工程师和技术人员应用的。它具有总结性

① 本书的序言是作者在1939年出版的这本书中的原作。

② 原书编辑补充。

③ Ф. С. Исинский. О сопротивлении продольному изгибу, § 24, СПб., 1894.

④ В. П. Николаев. Мозырская деформация. «Строительная промышленность», 1925, №9.

的特点，其中研究了直綫杆件和曲綫杆件的临界力的求法以及不同作者的研究結果。最后的結論都用便于应用的公式或表格表示出来。所有的叙述都通过許多例子加以闡明。

叙述纵向弯曲理論所需的数学資料并不多。高等学校机械专业和建筑专业方面所讲授的課本已經够用。仅第三、四两章的若干节中是例外，其中涉及貝塞尔函数。此外，在第三、四两章中应用了弯曲微分方程的数值积分法。不用数值法就无法处理許多工程問題。我們并未述及这些方法，讀者可参考已发行了若干版的 A. H. 克樓洛夫院士的优秀著作《近似計算》。

在本书《纵向弯曲》部分的第一章中述及临界力的概念并詳述其求法。各种方法都用例子加以說明。第二章研究了等截面直綫杆件当压力作用在它的两端时的纵向弯曲問題。第三章研究了变截面杆件的纵向弯曲問題。第四章研究了外力沿着杆长分布以及同时有沿着杆长分布的外力和作用在两端的外力的情形下直綫杆件的纵向弯曲問題。第五、六两章研究了曲綫杆件(圓环、拱、螺旋彈簧)的纵向弯曲問題。其中，第五章詳細研究了圓环和圓拱；第六章研究了抛物綫拱和悬鏈綫拱。最后，在第七章中研究了杆系的纵向弯曲問題。

每章章末都附有参考文献，作者着重提出了最重要的有关文章。此外，书中还列有若干基本的和总结性的著作与纵向弯曲課本的书目。

### 參 考 文 獻

- A. Лав (A. Love). Математическая теория упругости, гл. XVIII и XIX. ОНТИ, 1935.
- С. П. Тимошенко. Вопросы устойчивости упругих систем, гл. I. Л., 1935.
- S. Timoshenko. Theory of elastic stability, гл. I~IV. New York, 1936.
- I. Ratzersdorfer. Die Knickfestigkeit von Stäben und Stabwerken. Wien, 1936.
- R. Mayer. Die Knickfestigkeit. Berlin, 1921.
- L. Tetmajer. Die Gesetze der Knickungs und Druckfestigkeit, 3-е изд., 1903.
- Todhunter and Pearson. History of Theory of Elasticity, v. I и II, 1886~1893.
- А. Н. Динкин. Устойчивость упругих систем, гл. I~III. ОНТИ, 1935 и изд. АН СССР (переработанное и дополненное), 1950.

# 第一章 临界力

## § 1. 平衡的三种形式

物体的平衡可能是稳定的、不稳定的和随遇的。如果物体从一个位置稍许偏移后仍能回复到原来位置，这种平衡状态称为稳定平衡。如果物体稍许偏移后即继续离开而不再回到原来位置，则称为不稳定平衡。如果物体偏移后就在新位置上保持平衡，则称为随遇平衡。

一个放在碗形曲面内的重球是稳定平衡的例子，放在凸起（倒置）的碗形曲面顶点的球属于不稳定平衡，而同一球放在水平面上便是随遇平衡（图 1）。

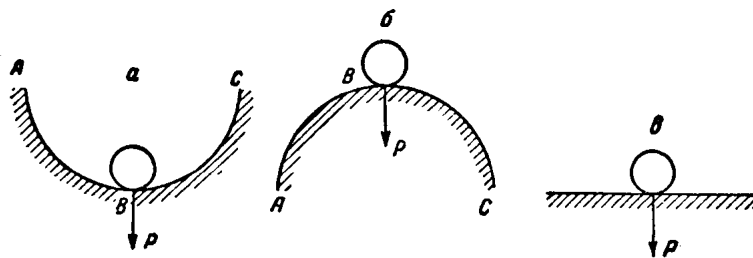


图 1

平衡的性质可随着从平衡位置偏移的方向而异。例如，用一圆柱形代替常用的碗形，使圆柱的母线成水平，曲线  $ABC$  为铅直平面与此圆柱形的截面（图 1-a）。当球从其平衡位置沿母线方向偏移时则成随遇平衡，而沿所有其余方向偏移时都是稳定平衡。至于图 1-b 所示情形，沿着水平母线的偏移也是随遇平衡，而沿所有其余方向的偏移都是不稳定平衡。

設取一鞍状曲面（双曲抛物面），将球置于曲面的中点。这里平衡的性质也随着不同的偏移方向而异。在一个方向，平衡是稳定的，而在其余的方向，则是不稳定的。我們补充說明，在工程结构中只容許稳定的平衡情况，沿所有各方向的偏移都應該保持稳定。象随遇平衡的情形，在工程問題中并不认为是平衡的。

## § 2. 稳定的分析准则

大家知道，按照在平衡状态下的虚位移原理，当物体自其平衡位置作无限小的偏移时，所有作用在物体上的力所作的功等于零：

$$\delta A = \sum (\bar{X} \delta x + \bar{Y} \delta y + \bar{Z} \delta z) = 0. \quad (1)$$

我們进一步来研究从平衡位置作有限小偏移时的功  $\Delta A$ 。可以證明：假使  $\Delta A$  是

負的，則平衡是穩定的；假使  $\Delta A$  是正的，則平衡是不穩定的；而如果  $\Delta A$  等于零，則平衡是隨遇的。

如以重球的三個平衡情況作為例子。圖 1-a 中，當球自平衡位置作有限小偏移時，其重心就上升，於是重力的功是負的，而平衡是穩定的。圖 1-b 中，當球從平衡位置偏移時，重心下降，重力的功是正的，因而平衡是不穩定的。最後，在圖 1-c 中，當球作偏移時，其重心既不上升也不下降，因此平衡是隨遇的。

狄利赫里定理指出另一個穩定性的準則。根據狄利赫里定理，物体在平衡位置上的位能  $U$  具有極小值或極大值。假使  $U$  為極小，則平衡是穩定的；如果  $U$  為極大，則平衡是不穩定的。今仍以重球作為例子。在圖 1-a 的情形下，球處於平衡狀態時居於最低的位置，其位能為極小，這一平衡是穩定的；圖 1-b 的情形，球居於最高的位置，其位能為極大，平衡是不穩定的；圖 1-c 的情形（球在水平面上），當球在平面上偏移時位能並不改變，這個平衡位置上的位能既無極大值也無極小值，因而平衡是隨遇的。

狄利赫里定理還指出了一个解決穩定性問題的方法。首先求出系統的位能，然後再確定它的極小值和極大值。對於極小位能的平衡位置是穩定的，而對於極大位能的是不穩定的。從數學的觀點來看，這就歸納為尋找函數的極小值或極大值的微分或變分運算問題。

### §3. 临界力

在大部分的剛體靜力學問題中，平衡的穩定性決定於物体的幾何形狀而與作用力的大小无关。例如，前面所研究過的重球（圖 1），當它安置於凹曲面內時為穩定平衡，放在凸曲面上時為不穩定平衡，最後，當它放在水平面上時為隨遇平衡；平衡的穩定性與球的重量完全无关。但是往往有這樣的情形，穩定性却與作用力的大小有關：外力較小時平衡是穩定的，較大時便不穩定；或者相反。

這就是說，存在着所謂臨界力。假使作用力小於臨界力，平衡是穩定的，假使大於臨界力則不穩定。如果外力增大而越過其臨界值，則平衡便從穩定過渡到不穩定。對於從穩定平衡轉到不穩定平衡的這個力的值，稱為這個力的臨界值，或簡稱臨界力。臨界力可以這樣求得：使作用力在物体離開平衡位置的有限小的偏移上所作的功等於零，或者使平衡位置上位能的二階導數等於零。

[例] 一個擺由杆子  $Cm$  和重量為  $Q$  的球所組成（圖 2）。繩子  $mBDEP$  穿過恰在  $C$  点上面的小圈  $B$  及滑輪  $D$  和  $E$ ，在繩子一端掛着荷重  $R$ ； $mC = BC = l$ 。繩子和杆子  $Cm$  的重量略去不計。

顯然，假使  $P$  較之  $Q$  為很小，則平衡位置  $\varphi = 0$  是穩定的；而如  $P$  很大則是不穩定的。為了尋求臨界力，我們來研究穩定的分析準則。當擺從平衡位置偏移一個  $\varphi$  角時，球  $Q$  的中心便上升下列高度：

$$H = l - l \cos \varphi,$$

而荷重  $P$  則下降：

$$h = 2l - 2l \cos \frac{\varphi}{2}.$$

外力  $Q$  和  $P$  所作的功等于：

$$A = -Ql(1 - \cos \varphi) + P2l\left(1 - \cos \frac{\varphi}{2}\right). \quad (2)$$

因为我們研究的是离开平衡位置的微小偏移，所以  $\cos \varphi$  可用  $1 - \frac{\varphi^2}{2}$  ( $\cos \varphi$  展成幂級数的前兩項) 来代替，于是：

$$A = (-2Q + P) \frac{l\varphi^2}{4}. \quad (3)$$

如果  $P < 2Q$ ，那么功  $A$  是負的，平衡是稳定的；如果  $P > 2Q$ ，那么功  $A$  是正的，平衡是不稳定的。使  $A$  等于零，我們得到  $P$  力的临界值。解所得方程，求得：

$$P_{kp} = 2Q. \quad (4)$$

因此，如果荷重  $P < 2Q$ ，那么平衡是稳定的；如果  $P > 2Q$ ，則是不稳定的。

根据狄利赫里定理也可得到相同的結果。設在  $\varphi=0$  的平衡位置上，摆  $Q$  和荷重  $P$  所成系统的位能为  $U_0$ 。当摆偏移一个  $\varphi$  角后，系統的位能为：

$$U = U_0 + Ql(1 - \cos \varphi) - 2Pl\left(1 - \cos \frac{\varphi}{2}\right), \quad (5)$$

或者，在小角度时

$$U = U_0 + (2Q - P) \frac{l\varphi^2}{4}. \quad (6)$$

由此

$$\frac{dU}{d\varphi} = \frac{1}{2}(2Q - P)l\varphi,$$

$$\frac{d^2U}{d\varphi^2} = \frac{1}{2}(2Q - P)l.$$

假使  $\frac{d^2U}{d\varphi^2}$  是正的，那么这平衡位置的  $U$  为极小，平衡是稳定的。这种情形将发生于：

$$P < 2Q.$$

假使  $\frac{d^2U}{d\varphi^2}$  是负的，则此平衡位置的  $U$  为极大，平衡是不稳定的。这种情形将发生于：

$$P > 2Q.$$

当  $P = 2Q$  时，稳定平衡就过渡到不稳定平衡。这个  $P$  值便是临界力。

$\varphi=0$  的平衡位置上存在着临界力，这个平衡位置稳定与否取决于  $P$  力的大小；除此以外，尚有别的沒有临界力的平衡位置。如果我們不象前面那样假定角度  $\varphi$  是微小的，便可由(5)式求出这些位置。

实际上，可得：

$$\frac{dU}{d\varphi} = Ql \sin \varphi - Pl \sin \frac{\varphi}{2} = \left[2Q \cos \frac{\varphi}{2} - P\right]l \sin \frac{\varphi}{2} = 0. \quad (7)$$

由此，可能有两种情况：

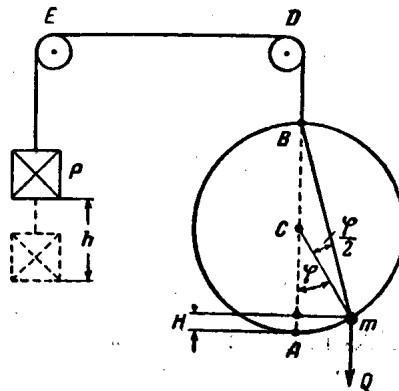


图 2

$$\sin \frac{\varphi}{2} = 0, \text{ 即 } \varphi = 0, 2\pi, 4\pi \dots$$

及

$$\cos \frac{\varphi}{2} = \frac{P}{2Q}。 \quad (8)$$

显然,从第一种情况的全部解答可以得到前面所讨论的平衡位置。

第二种情况是新的平衡位置,我們現在来研究它是否稳定。

由能量的二阶导数得出:

$$U'' = Ql \cos \varphi - \frac{Pl}{2} \cos \frac{\varphi}{2},$$

或者,将(8)式中的  $P$  值代入,得出:

$$U'' = Ql \left[ \cos \varphi - \cos^2 \frac{\varphi}{2} \right]。 \quad (9)$$

然而,当  $\varphi < \pi$  时,始終是  $\cos \varphi < \cos^2 \frac{\varphi}{2}$ , 这就是說,在平衡位置(8)中,  $U''$  是負的, 能量  $U$  为极大, 平衡总是不稳定的。在这个平衡位置上不存在任何临界力。

#### § 4. 彈性系統的临界力

在很久以前,人們就知道彈性系統具有临界力。在这領域內最初进行研究的还是欧拉。他証明了具有相当长度原来挺直的杆件在軸向力的作用下可以被弯曲,并且有这样几个平衡形状:其中有一个是稳定的,其余都是不稳定的。

拉格朗日把欧拉的研究推广到变截面杆件,求得了强度最大的柱子的形状。欧拉和拉格朗日的工作曾經是完全被遺忘了,而沒有得到工程上的应用;在当时的工程上不需要薄壁結構。此外,欧拉方法本身的卓越特点也很少为当时的人們所了解。人們长期认为,欧拉的解答沒有任何实际意义,只是一个大数学家的奇想而已。一直到十九世紀末,对这个問題經過了严格的数学分析以及實驗的結果,才証明欧拉是正确的,他的方法完全可靠,而且可用以求解其他的稳定性問題。

从十九世紀后半叶开始,涌现了有关个别稳定性問題的大量研究。这是由于当时在建筑桥梁和其他大型金属构筑物时,为了減輕结构的自重,开始大量采用了决定于稳定性計算的薄壁杆件和钣。这些学者的工作闡明,基尔赫高弗关于彈性理論方程解答唯一性的定理对于象薄壁杆件、钣和薄壳等这些物体并不适用,它們可能出現几种平衡状态。

例如,如果使作用在彈性体上的載荷精确到某一数值因數  $\lambda_0$  的程度,则存在着  $\lambda < \lambda_0$  的情况,对于所有小于此的  $\lambda$  值,只有一个平衡位置,并且是稳定的。假使  $\lambda$  趋近于零,那么这个位置就轉为物体的自然应力状态。假使  $\lambda > \lambda_0$ ,那就可能有几个平衡位置。对应于  $\lambda_0$  值的載荷称为临界載荷。仅在个别情况下,  $\lambda_0$  可能为无限大,对于这种系統只有一个稳定的平衡位置,不存在临界載荷。事实上,几个平衡位置的存在,只有当  $\lambda = \lambda_0$  不超过彈性极限时才有实际意义。这就是物体的一个尺寸或两个尺寸是小于第三个尺寸(钣、薄壁杆件)。在这些平衡位置中有一个是稳定的,其余都

是不稳定的。对于工程上的目的来说，最重要的是确定其中哪些是稳定的，哪些是不稳定的，因为那些作为强度计算依据的平衡位置无疑地必须是稳定的。不稳定平衡或随遇平衡在这类问题中都还不能认为是平衡的。在所有这类的工程问题中，不但需要知道平衡的形式，而且还需知道临界力的大小，也就是由稳定平衡转变为不稳定平衡的这一个力的大小。应该补充说明，弹性系统一般具有几个临界力，工程上重要的是要知道其中的最小值  $P_{kp}$ 。对于较高的临界力，在大多数情况下并无任何兴趣可言。

### § 5. 临界力存在的准则

由 § 3 中的例子可以看出只有在这种情况下，当平衡位置并不随外力而变化时，才谈得到临界力。例如 § 3 中的摆，当变化  $P$  或  $Q$  力的大小时，平衡位置  $\varphi = 0$  并不改变，摆总是保持铅直的位置。在这个位置上可能存在  $P_{kp}$ 。摆还存在于由(8)式所确定其他角度的别的平衡位置。这里的偏移角  $\varphi$  将决定于  $P$  和  $Q$  力的值。随着  $P$  或  $Q$  的改变，角度  $\varphi$  也变化，这些平衡位置上没有临界力。

承载纵向压力  $P$  的直线杆件的平衡位置并不随  $P$  力的变化而异<sup>①</sup>，因为杆件保持直线， $P_{kp}$  是可以预计的。同一杆件受到横向力  $Q$  的弯曲作用，其平衡位置（杆件的挠度）随着  $Q$  的变化而改变，并没有临界力。

如果完成了上述必要的但并不充分的条件，则可指出寻求  $P_{kp}$  的规则。这规则是：首先应该得到平衡位置，其次求出物体从平衡位置作有限小偏移时物体上全部作用力的功，并使这个功等于零，就得到确定  $P_{kp}$  的方程。显然，如果在某一偏移上全部作用力所作的功的符号都相同，则  $P_{kp}$  不存在；如出现不同的符号，则  $P_{kp}$  就存在了。例如 § 3 中的摆，对应于平衡位置角度  $\varphi = 0$  的偏移上， $P$  力作正功而  $Q$  作负功，这样  $P_{kp}$  即存在。假使把贯穿绳子的小孔  $B$  安装在  $A$  点，这样，当摆偏离平衡位置时，绳子即刻将它拉向下方，在此偏移时  $P$  和  $Q$  力都作负功，因此  $P_{kp}$  不存在，平衡总是稳定的。

下端固定的铅直杆件受到作用在上端的  $P$  力的压缩（欧拉情形，图 4-I）。当杆件从平衡位置偏移时（纵向弯曲时），弹性力作负功，重力  $P$  作正功， $P_{kp}$  是存在的。假使杆件受到作用在上端的纵向力  $P$  的拉伸，则当从平衡位置偏移（弯曲）时，弹性力和  $P$  力的功都是负的， $P_{kp}$  不存在了。

如在同一杆件的上端作用着拉力  $P$  和沿杆件全长分布的自重  $Q$ ，当从平衡位置偏移（弯曲）时，弹性力和  $P$  力的功是负的，而  $Q$  力的功是正的，临界力就存在了。

受均布外载荷压力  $p$  压缩的圆环或管子<sup>②</sup>，圆的平衡状态是否总是稳定的，有没有临界压力呢？假定圆环或管子稍许偏离圆形，弹性力的功是负的， $p$  力的功是正的，因而存在着临界压力。由计算得到：

① 略去杆件的纵向缩短。

② 例如蒸汽锅炉的水管（参阅第五章 § 61）。

圆环  $p = \frac{3EI}{R^3}$ ,

管子  $p = \frac{3EI}{R^3(1-\mu^2)}$ ,

式中  $I$ ——环缘的横截面或单位长度内管子横截面的惯矩;

$E$ ——弹性模量;

$\mu$ ——泊松系数;

$R$ ——半径。

设同一圆环或管子承受内压力  $p$  (例如圆柱形蒸汽锅炉的外壁)。在圆形稍许偏离时, 弹性力和  $p$  力都作负功, 临界压力不存在。圆环或管子在内压力下, 圆的平衡状态总是稳定的。

我们也可采用其他的方法: 在平衡位置上位能  $U$  具有极小值或极大值。如果具有极小值, 则平衡是稳定的; 如果具有极大值则不稳定。如果随着  $P$  力的变化,  $U$  的极小值转变到极大值, 或者相反, 那末发生转变时的这一个  $P$  值便是临界力了。

临界力的求法如下: 应求出  $U$ , 使其一阶导数等于零, 得到平衡位置, 然后研究平衡位置上的二阶导数。若  $P$  变化时, 其符号保持不变, 则临界力不存在; 如果也随着变化, 则存在临界力。使  $U$  的二阶导数等于零, 由此方程解出  $P$ , 便得  $P_{kp}$ 。

### § 6. 临界力的求法

关于临界力的确定可以有许多方法。这里不拟用普遍的形式来叙述, 而只用例子来阐明其实质。

这些方法中最主要的是平衡微分方程的直接积分和位能法。我们将概要地说明这两个方法, 而其余的方法只是提一下。

1. 平衡微分方程的直接积分 杆件(图 4-I)受到沿着轴线作用的  $P$  力的压缩。杆件的下端固定, 上端自由。当  $P$  力较小时杆件维持为直线。当  $P$  力增大可能达到某一时刻, 杆件的直线形状成为不稳定的, 杆件便弯曲了。为了寻求使杆件开始弯曲时力的数值, 我们假定杆件已经弯曲, 并列出杆件从直线平衡状态作微小偏移的弯曲微分方程。当偏移微小时, 方程是线性的:

$$EIy'' = -P(y-f) \quad (10)$$

边界条件如下:

$$\left. \begin{array}{l} \text{当 } x=0 \text{ 时, } y=0, \quad y'=0; \\ \text{当 } x=l \text{ 时, } y=f. \end{array} \right\} \quad (11)$$

方程(10)的积分等于:

$$y = C_1 \cos nx + C_2 \sin nx + f, \quad (12)$$

式中

$$n^2 = \frac{P}{EI} \quad (13)$$

由边界条件(11)导得  $C_1$ 、 $C_2$  和  $f$  的三个线性齐次联立方程 (在此情况下, 它们特别简单)。这些方程的解答之一为:

$$C_1 = C_2 = f = 0, \quad (14)$$

这就是说, 杆件保持挺直, 并无任何弯曲。如果上述三个联立方程的行列式等于零, 则  $C_1$ 、 $C_2$  和  $f$  全部或其中的某一些可能不等于零, 也就是仅仅在这种情况下弯曲才有可能。这就给出了本题的所谓特征方程。在这样的情形中, 它特别简单:

$$\cos nl = 0. \quad (15)$$

从上式决定  $n$  数, 因而也就确定了临界力  $P_{kp}$ 。

在本例的情况下,

$$nl = \frac{\pi}{2}, \quad \frac{3\pi}{2}, \quad \frac{5\pi}{2}, \dots \quad (16)$$

$$P_{kp} = \frac{\pi^2 EI}{4l^2}, \quad \frac{9\pi^2 EI}{4l^2}, \dots \quad (17)$$

数值  $n$  称为本题的特征数, 对应的解答

$$y = f(1 - \cos nx) \quad (18)$$

称为特征函数。

至此我们仍留下一个未定量  $f$ , 即杆件上端的挠度。应该特别注意, 一般上面讨论的方法并无决定杆件挠度  $f$  的可能性。这是由于我们以近似的弯曲方程(10)为出发点的缘故。假使既希望获得临界力, 又需要求出在大于临界力下杆件被弯曲成的曲线, 则应以精确的弯曲方程

$$\frac{EIy''}{(1+y'^2)^{3/2}} = -P(f-y)$$

为依据。

如对此式积分, 我们即可得到临界力的数值与(17)相同, 此外, 并可得到外力大于临界值时杆件被弯曲的弯曲线形状。当外力小于第一临界力时, 正如精确理论所表明, 杆件保持挺直。这个问题将详细地在 § 16 和 17 中说明。

在本例中, 最小临界力是在杆件弯曲成一个四分之一波的曲线(图 4-I)时得到的。

$$y = f \left( 1 - \cos \frac{\pi x}{2l} \right)$$

对应于方程(16)的最小根。当弯曲成 3 个、5 个等四分之一波的曲线时, 则对应于方程(16)的第二、第三个根等可以得到较大的临界力, 但也并不是始终如此。有时最小临界力是在杆件弯曲成几个四分之一波的曲线时得到的。§ 21 中所研究的杆件在弹性介质内的纵向弯曲便可作为例子。

如果方程(10)并不能积分成有限形式(例如变惯矩时), 则可按照无穷级数的形式来求解。得到的特征方程也是由这种级数组成的。临界力的计算虽没有引起原则上的困难, 但需要耗费巨大的劳力和时间, 特别是在复杂而收敛慢的级数的时候。

平衡方程的数值积分可以很快地获得结果。我们举例来说明这个方法。

设需要确定一个下端固定上端自由的杆件的临界力(图4-I), 惯矩沿杆件长度按余弦的二次幂变化(参阅§38):

$$I(x) = I \cos^2 1.4706 \frac{x}{l}, \quad (19)$$

上端的惯矩*i*与下端的惯矩*I*之比值等于0.01。

这种杆件的弯曲微分方程与方程(10)相似:

$$\cos^2 1.4706 \xi \frac{d^2\eta}{d\xi^2} = K(1-\eta), \quad (20)$$

式中 *K*——所求的稳定系数;

*ξ*, *η*——无量纲的坐标。

$$K = \frac{Pl^2}{EI}, \quad \xi = \frac{x}{l}, \quad \eta = \frac{y}{f}. \quad (21)$$

边界条件(11)可改写为:

$$\xi=0, \quad \eta=\eta'=0; \quad (22)$$

$$\xi=1, \quad \eta=1. \quad (23)$$

现在需要确定稳定系数*K*。如与其他相似的情形比较, 便能想到:  $1 < K < 2$ 。以*K*=1代入方程(20), 并根据施德妙尔法在边界条件(21)下加以积分。因为杆件的全长分为4~5段, 所以这一积分是相当粗略的。

我们得到:

$$\eta(1) = 0.74.$$

以*K*=2代入方程(20), 再在同样的边界条件(22)下重新对所得方程积分, 得到:

$$\eta(1) = 1.53.$$

用内插法近似地求得, 当*K*=1.3~1.4时,  $\eta(1)=1$ 。

试取*K*=1.4, 并较精确地完成方程(20)的积分, 如把杆长分作10段, 我们得到*η(1)=0.9941*。

我们取*K*=1.43, 得*η(1)=1.0024*。由此求得*K=1.423*。顺便在计算过程中得到诸中间*ξ*值的纵坐标*η*, 即弯曲线的形状。

这个方法可以计算达到任何预定精确度的*K*, 较利用幂级数求方程的积分可以更快地得到结果<sup>①</sup>。

① 关于施德妙尔法, 参阅 A. Н. Крылов 著的 *Приближенные Вычисления*, 第七章, § 96~97 (苏联科学院出版社, 1935)。

2. 位能法 假設压杆(图 4, § 8)稍微弯曲。变形位能便稍許增長，即在壓縮能上又增加了弯曲能。当杆件从直線形状发生微小偏移时，壓縮能可以假定不变。設  $U$  为弯曲能。随着杆件的上述弯曲，同时产生載荷的下降，也就是系統的位能減小。設  $T$  为这一能量的减少量，等于載荷下降所作的功。如果当杆件从平衡位置偏移时，位能的增量是正的，也就是说，如果

$$U > T,$$

則压杆的直線平衡形状是稳定的，如果

$$U < T,$$

則不稳定。

临界力从下列方程求出：

$$U = T. \quad (24)$$

假使已知杆件被弯曲成的曲綫形状，便可从(24)式得到临界力的正确值。但在大多数情况下，这个曲綫的形状是不知道的。这时可以应用下述鐵摩辛柯所建議的近似法。根据实验資料或者对类似問題的研究，假定一根形状适当的弯曲綫，其方程可以不适合弯曲微分方程，但是必須滿足边界条件，并包含一个或几个任意参数。因此，設

$$y = f(x, a_1, a_2, \dots, a_n). \quad (25)$$

然后，根据(25)式列出  $U$  及  $T$  的表达式，再代入(24)式，求得  $P$  为前述参数的函数，于是得到：

$$P = F(a_1, a_2, \dots, a_n). \quad (26)$$

最后，我們選擇参数  $a_1, a_2, \dots$  使从(26)式求得的  $P$  具有最小值。

我們仍以下端固定上端自由的杆件(图 4)为例來說明解題的过程。弯曲的位能等于：

$$U = \frac{EI}{2} \int_0^l (y'')^2 dx. \quad (27)$$

当杆件弯曲时，外力的功为  $P$  力与杆件上端下降量的乘积，即

$$T = \frac{P}{2} \int_0^l (y')^2 dx. \quad (28)$$

把  $U$  和  $T$  的值代入(24)式得到：

$$P_{kp} = EI \frac{\int_0^l (y'')^2 dx}{\int_0^l (y')^2 dx}. \quad (29)$$

在所示的情况下，弯曲綫的通式可用三角級數的形式来表示：

$$y = a_0 \left(1 - \cos \frac{\pi x}{2l}\right) + a_1 \left(1 - \cos \frac{3\pi x}{2l}\right) + \dots + a_n \left(1 - \cos \frac{(2n+1)\pi x}{2l}\right) + \dots \quad (30)$$